

УДК 539.3

Р. М. Киракосян

**Неклассическая задача изгиба ортотропной балки с упруго-защемленной опорой**

(Представлено академиком С. А. Амбарцумяном 21/XI 2013)

**Ключевые слова:** упруго-защемленная опора, уточненная теория, поперечный сдвиг, ортотропная балка.

Рассматривается упруго-защемленная опора общего типа, из которой как частные случаи получаются все типы опор балки, включая и случай свободного конца. В рамках уточненной теории С. А. Амбарцумяна [1] решается задача изгиба ортотропной балки прямоугольного постоянного поперечного сечения при действии равномерно распределенной нагрузки. Считается, что один конец балки упруго защемлен, а другой лежит на классической шарнирной подвижной опоре. Получаются аналитически замкнутые выражения прогиба, поперечной силы и изгибающего момента балки. Рассматриваются два частных случая.

1. В правой системе декартовых координат  $x, y, z$  рассмотрим упруго-защемленную опору общего типа (рис. 1).

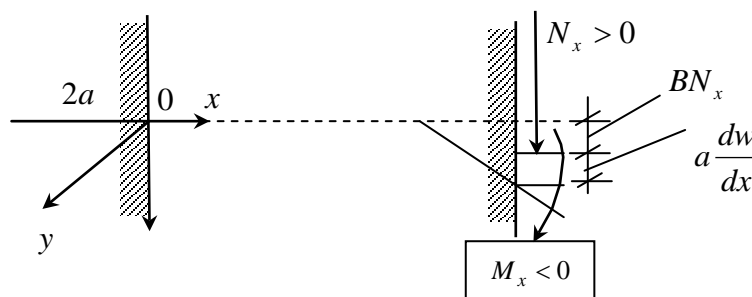


Рис. 1.

Краевая часть балки вставлена в упруго-деформированный массив. Длина этой части составляет  $2a$ , что достаточно мало относительно длины балки. Из-за малой длины будем считать, что вставленная часть балки подобно абсолютно твердому элементу может поступательно перемещаться и

вращаться как одно целое. Поэтому в ее пределах значение  $dw/dx$  будем считать постоянным.

Для простоты положим, что балка испытает деформирование только поперечного изгиба. Тогда в опорном сечении балки возникнут только поперечная сила  $N_x$  и изгибающий момент  $M_x$ . Не нарушая общности, положим, что в принятой системе координат  $N_x > 0, M_x < 0$  (рис. 1).

Под действием момента поперечной силы относительно середины вставленной части  $aN_x$  и момента  $M_x$  ось балки в опорном сечении  $x = 0$  будет вращаться на некоторый угол. Этот угол, а следовательно, и его тангенс  $dw/dx$  зависят от вращающих моментов. Считая, что величина  $dw/dx$  прямо пропорциональна сумме этих моментов и в принятой правой системе координат  $dw/dx > 0$  при отрицательном моменте, можно написать

$$\left. \frac{dw}{dx} \right|_{x=0} = D(aN_x - M_x). \quad (1.1)$$

Здесь  $D$  – постоянная, обратная жесткости упруго-зашемленной опоры на вращение.

Прогиб балки в опорном сечении  $x = 0$  состоит из двух частей. Одна из них возникает от вращения вставленной части балки, а другая – от ее поступательного вертикального перемещения от действия поперечной силы  $N_x(x = 0)$ . По аналогии с гипотезой Фусса–Винклера можно считать, что вторая часть опорного прогиба прямо пропорциональна поперечной силе  $N_x$ . В итоге для  $w(x = 0)$  получим

$$w|_{x=0} = a \left. \frac{dw}{dx} \right|_{x=0} + BN_x|_{x=0}. \quad (1.2)$$

Здесь  $B$  – постоянная, обратная жесткости упруго-зашемленной опоры на прогиб.

Таким образом, условия упруго-зашемленной опоры будут:

$$\text{при } x = 0 \quad w = a \frac{dw}{dx} + BN_x, \quad \frac{dw}{dx} = D(aN_x - M_x). \quad (1.3)$$

Несколько слов об экспериментальном определении характеристик  $B$  и  $D$ . Надо изготовить опытный образец опоры общего типа натуральных размеров и вместо балки сделать выступ ничтожно малой длины. К сечению  $x = 0$  надо приложить только некоторую вертикальную силу  $P$  достаточно большой величины и измерить значения прогиба  $w$  и угла вращения  $dw/dx$ . Постоянные  $B$  и  $D$  определятся по формулам

$$B = \frac{1}{P} \left( w - a \frac{dw}{dx} \right), \quad D = \frac{1}{aP} \cdot \frac{dw}{dx}. \quad (1.4)$$

В случае же, когда торец  $x = 0$  склеен или сварен с упругим массивом ( $a = 0$ ), к сечению  $x = 0$  надо по очереди приложить силу  $P$  и момент  $M$ . Измерив значения  $w$  и  $dw/dx$ ,  $B$  и  $D$  можно определить формулами

$$B = \frac{w}{P}, \quad D = -\frac{1}{M} \frac{dw}{dx}. \quad (1.5)$$

Постоянные  $B$  и  $D$  в системе СИ имеют размерность

$$[B] = M \cdot H^{-1}, \quad [D] = (H \cdot M)^{-1}. \quad (1.6)$$

Из условий (1.3) можно получить условия всех типов опор. Приведем несколько примеров:

I) условия абсолютно жестко заземленной опоры:

$$B = 0, \quad D = 0; \quad (1.7)$$

II) условия классической шарнирной опоры:

$$a = 0, \quad B = 0, \quad D = \infty; \quad (1.8)$$

III) условия классической шарнирной опоры на упругом основании:

$$a = 0, \quad B > 0, \quad D = \infty; \quad (1.9)$$

IV) условия упругой шарнирной опоры на жестком основании:

$$a = 0, \quad B = 0, \quad 0 < D < \infty \quad (1.10)$$

и т.д.

2. Рассмотрим ортотропную балку с прямоугольным постоянным поперечным сечением  $b \times h$ . Балка находится под действием равномерно распределенной поперечной нагрузки интенсивности  $q$ . Левый край балки  $x = 0$  имеет упруго-защемленную опору общего типа, а ее правый край  $x = l$  опирается на классическую шарнирную подвижную опору (рис. 2).

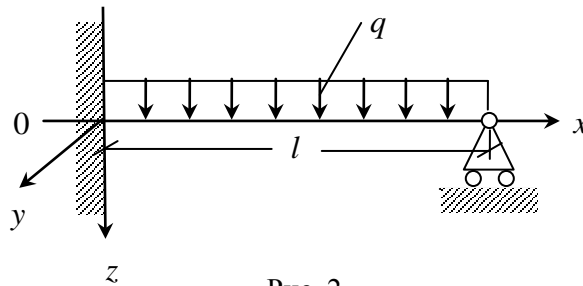


Рис. 2.

Изгибающий момент  $M_x$  и перерезывающая сила  $N_x$  в рамках уточненной теории С. А. Амбарцумяна [1], учитывающей влияние деформаций поперечных сдвигов, имеют вид

$$M_x = -EJ \frac{d^2 w}{dx^2} + \frac{h^2 \chi}{10} \cdot J \cdot \frac{d\varphi}{dx}, \quad (2.1)$$

$$N_x = J\varphi, \quad (\chi = a_{55}E). \quad (2.2)$$

Здесь  $E$  – модуль Юнга материала балки по направлению оси  $0x$ ,  $\varphi$  – искомая функция, определяющая перерезывающую силу,  $a_{55}$  – упругая постоянная, связывающая деформацию поперечного сдвига и касательного поперечного напряжения балки в плоскости  $y0z$ . Через  $J$  обозначен момент инерции поперечного сечения балки относительно его центральной оси  $0y$

$$J = \frac{bh^3}{12}. \quad (2.3)$$

Дифференциальные уравнения равновесия балки имеют вид [1]

$$\frac{dM_x}{dx} = N_x, \quad \frac{dN_x}{dx} = -q. \quad (2.4)$$

С учетом (2.1) и (2.2) из (2.4) получим

$$E \frac{d^3 w}{dx^3} - \frac{h^2 \chi}{10} \frac{d^2 \varphi}{dx^2} + \varphi = 0, \quad (2.5)$$

$$\frac{d\varphi}{dx} = -\frac{q}{J}.$$

Решение этой системы будет

$$\varphi = -\frac{q}{J}x - \frac{C_1}{J}, \quad (N_x = -qx - C_1), \quad (2.6)$$

$$EJw = q \frac{x^4}{24} + C_1 \frac{x^3}{6} + C_2 \frac{x^2}{2} + C_3 x + C_4. \quad (2.7)$$

Через  $C_i$  обозначены постоянные интегрирования, которые определяются из краевых условий:

$$\begin{aligned} \text{при } x=0 \quad w &= a \frac{dw}{dx} + BN_x, \quad \frac{dw}{dx} = D(aN_x - M_x), \\ \text{при } x=l \quad w &= 0, \quad M_x = 0. \end{aligned} \quad (2.8)$$

Удовлетворив этим условиям, с учетом (2.6) и (2.7) относительно постоянных  $C_i$  получим систему уравнений

$$\begin{cases} BEJ \cdot C_1 - aC_3 + C_4 = 0, \\ aDEJ \cdot C_1 - DEJC_2 + C_3 = \frac{EJDh^2 \chi}{10} \cdot q, \\ 4l^3 C_1 + 12l^2 C_2 + 24lC_3 + 24C_4 = -ql^4, \\ lC_1 + C_2 = -\frac{ql^2}{2} - \frac{h^2 \chi}{10} \cdot q. \end{cases} \quad (2.9)$$

Решая (2.9), получим

$$\begin{aligned} C_1 &= -\frac{ql^2}{40H} [25l^2 + 60EJD(l+a) + 6h^2 \chi], \\ C_2 &= \frac{q}{40H} \left\{ 5l^5 - 60EJl^2 [B + aD(l+a)] + 2h^2 \chi l^3 - 12EJh^2 \chi [B + D(l+a)^2] \right\}, \\ C_3 &= \frac{qEJl^2 D}{40H} [5l^2(l+5a) - 60EJB + 6h^2 \chi(l+a)], \\ C_4 &= \frac{qEJl^2}{40H} \left\{ 5l^2 [5B + aD(l+5a)] + 60EJDBl + 6h^2 \chi [B + aD(l+a)] \right\}. \end{aligned} \quad (2.10)$$

Через  $H$  обозначено выражение

$$H = l^3 + 3EJ [B + D(l+a)^2]. \quad (2.11)$$

Отметим, что члены с множителем  $\chi$  учитывают влияние деформации поперечного сдвига.

Подставляя (2.10) в (2.1), (2.2), (2.6) и (2.7), после некоторых видоизменений для  $N_x, M_x$  и  $w$  получим

$$N_x = \frac{q}{40M} \left[ 5l^3(5l-8x) + 60EJD(l+a)(l^2-2lx-2ax) - 120EJBx + 6h^2\chi l^2 \right], \quad (2.12)$$

$$M_x = \frac{q}{40H} \left\{ 5l^3(5lx-l^2-4x^2) + 60EJB(l^2-x^2) + 60EJD \left[ l^2x(l-x) + a(l+a)(l^2-x^2) \right] - 6h^2\chi l^2(l-x) \right\}, \quad (2.13)$$

$$W = \frac{q}{240EJH} \left\{ 5l^3x^2(3l^2-5lx+2x^2) + 30EJD \left[ l^2x(l^3-2lx^2+x^3) + al(2x^4-2lx^3-6l^2x^2+5l^3x+l^4) + a^2(5l^4-6l^2x^2+x^4) \right] + 30EJB(5l^4-6l^2x^2+x^4) + 360E^2J^2DBl^2(l-x) + 6h^2\chi l^2x^2(l-x) + 36EJh^2\chi B(l^2-x^2) + 36EJh^2\chi D(l+a)(l^2x-lx^2+al^2-ax^2) \right\}. \quad (2.14)$$

Рассмотрим частные случаи.

I. Вместо упруго-защемленной опоры имеется классическая жестко защемленная опора. В этом случае

$$B = 0, \quad D = 0, \quad H = l^3. \quad (2.15)$$

С учетом (2.15) из (2.12)÷(2.14) получим

$$N_x = \frac{q}{40l} \left[ 5l(5l-8x) + 6h^2\chi \right], \quad (2.16)$$

$$M_x = -\frac{q}{40l} \left[ 5l(l^2-5lx+4x^2) + 6h^2\chi(l-x) \right], \quad (2.17)$$

$$w = \frac{qx^2}{240EJl} \left[ 5l(3l^2-5lx+2x^2) + 6h^2\chi(l-x) \right]. \quad (2.18)$$

Из этих выражений видно, что учет поперечного сдвига влияет на значения всех расчетных величин балки.

II. Вместо упруго-защемленной опоры имеется классическая шарнирная опора. Тогда

$$a = B = 0, \quad D = \infty, \quad H = 3EJl^2. \quad (2.19)$$

С учетом (2.19) из (2.12)÷(2.14) получим

$$N_x = \frac{q}{2}(l-2x), \quad (2.20)$$

$$M_x = \frac{qx}{2}(l-x), \quad (2.21)$$

$$w = \frac{qx}{120EJ} \left[ 5(l^3-2lx^2+x^3) + 6h^2\chi(l-x) \right]. \quad (2.22)$$

В отличие от случая I учет поперечного сдвига в данном случае влияет только на значение прогиба балки, что является следствием статической определенности задачи.

Аналогичным образом из (2.12)÷(2.14) можно получить решения и остальных частных случаев.

В заключение отметим, что идею упруго-зашемленной опоры можно распространить как на более сложные виды деформирования балки, так и на анизотропные пластинки и оболочки постоянной и переменной толщины [2]÷[4].

Институт механики НАН РА

**Р. М. Киракосян**

### **Неклассическая задача изгиба ортотропной балки с упруго-зашемленной опорой**

Рассматривается упруго-зашемленная опора, из которой как частный случай получаются все типы опор, включая и случай свободного конца. В рамках уточненной теории С. А. Амбарцумяна решается задача изгиба ортотропной балки прямоугольного постоянного поперечного сечения при действии равномерно распределенной поперечной нагрузки. Считается, что один конец балки упруго зашемлен, а другой лежит на классической шарнирной подвижной опоре. Получаются аналитически замкнутые выражения прогиба, поперечной силы и изгибающего момента балки. Рассматриваются два частных случая.

**Ռ. Մ. Կիրակոսյան**

### **Առաձգական ամրակցված հենարանով հեծանի ծռման ոչ դասական խնդիրը**

Դիտարկվում է առաձգական ամրակցման հենարան, որից, որպես մասնավոր դեպքեր, ստացվում են բոլոր տիպի հենարանները, ներառյալ նաև ազատ եզրը: Ճշգրտված [1] տեսության շրջանակներում լուծվում է ուղղանկյուն հաստատուն կտրվածքով օրթոտրոպ հեծանի ծռման խնդիրը հավասարաչափ բաշխված բեռի ազդեցության դեպքում ընդունվում է, որ հեծանի մի ծայրն առաձգական ամրակցված է, իսկ մյուսը հենված է դասական հողակապային հենարանին: Ստացվում են հեծանի ճկվածքի, լայնական ուժի և ծռող մոմենտի անալիտիկ փակ արտահայտությունները: Դիտարկվում են երկու մասնավոր դեպքեր:

**R. M. Kirakosyan**

### **Non-Classical Problem of a Bend Orthotropic Beams with the Elastic Clamped Support**

The elastic clamped support from which as a special case, several types of supports turn out, including the case of the free end is considered. Within S. A. Ambartsumyan's refined theory the problem of a bend of an orthotropic beam of rectangular constant

cross section is solved under the action of uniformly distributed transverse loads. It is considered that one end of a beam is elastically clamped and the other one is hinged on a classical mobile support. It is received analytically closed expressions of deflection, shear force and bending moment of the beam. Two special cases are considered.

### Литература

1. *Амбарцумян С. А.* Теория анизотропных пластин. М. Наука. 1987. 360 с.
2. *Амбарцумян С. А.* Общая теория анизотропных оболочек. М. Наука. 1974. 448 с.
3. *Киракосян Р. М.* Прикладная теория ортотропных пластин переменной толщины, учитывающая влияние деформаций поперечных сдвигов. Изд. НАН РА "Гитутюн". 2000. 122 с.
4. *Киракосян Р. М.* - ДНАН РА. 2012. Т. 112. №4. С. 369–376.